

УДК 533.601.15

**МОДЕЛЬ МАХОВСКОЙ КОНФИГУРАЦИИ  
СТАЦИОНАРНЫХ УДАРНЫХ ВОЛН  
В ПЛОСКОМ СУЖАЮЩЕМСЯ КАНАЛЕ**

**А.Е. МЕДВЕДЕВ, В.М. ФОМИН**

*Институт теоретической и прикладной механики СО РАН,  
Новосибирск*

Предложена математическая модель для расчета параметров стационарного течения газа внутри плоского сужающегося канала, образованного двумя симметрично расположенными клиньями. Модель описывает течение с нерегулярным (маховским) отражением падающей ударной волны. При некоторых предположениях решение задачи сводится к системе нелинейных алгебраических и интегральных уравнений. Представленная модель течения газа описывает следующие структуры течения: нерегулярное отражение ударных волн, кривизну ударных волн и контактного разрыва, волну разрежения и звуковую линию. Сравнение результатов расчетов с экспериментальными данными показывает, что данная модель позволяет рассчитывать высоту “ножки” Маха и длину дозвуковой области течения.

Исследования нерегулярного (маховского) отражения ударных волн имеют давнюю историю — начиная с работ Э. Маха в конце прошлого века до настоящего времени [1 – 11]. Однако до сих пор не известно, существует ли аналитическое решение для маховского отражения плоских ударных волн [12] (с. 321). Не касаясь вопроса выбора критического угла клина (далее считается, что таковой больше критического) и связанных с этим проблем [2 – 6], отметим, что пока не ясна качественная картина течения с маховским отражением в канале. Инженерный подход [7, 8] дает заниженные значения высоты “ножки” Маха и длины дозвуковой области. В работе [9] на основе модели [7, 8] учитывается влияние условий вниз по потоку (донное давление на задней кромке клина) на параметры течения. При этом считается, что область влияния ограничивается не последней характеристикой волны разрежения, а некоторой промежуточной (лежащей между первой и последней). В работе [10] предложена модель течения с кривой отраженной ударной волной и непостоянным течением в области над контактным разрывом. Замыкание решения проводилось по первой характеристике волны разрежения (без учета донного давления).

Рассмотрим плоский канал, образованный двумя симметрично расположенными клиньями. Газ со сверхзвуковой скоростью натекает слева. В силу симметричности задачи будем рассматривать только верхнюю полуплоскость с клином  $ABG$  и осью симметрии  $ON$  (рис. 1). На рисунке приняты следующие обозначения:  $T$  — тройная точка;  $AT$  — присоединенная ударная волна;  $TO'$  — криволинейная ударная волна (“ножка” Маха);  $TF$  — отраженная ударная волна;  $TE$  — контактный разрыв;  $GF'$ ,  $GF$  и  $GF''$  — первая и промежу-

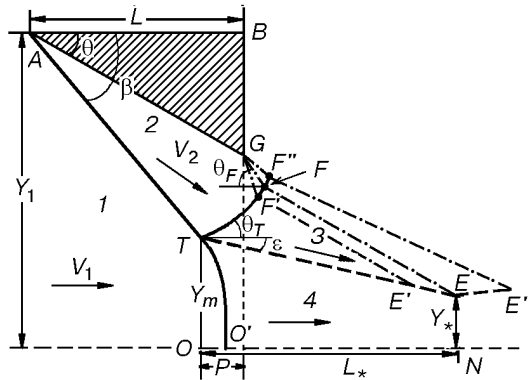


Рис. 1. Схема маховской конфигурации.

точные характеристики веера волн разрежения;  $FE$ ,  $F'E'$  и  $F''E''$  — продолжения соответствующих характеристик за ударной волной  $TF''$ ;  $EN$  — звуковая линия. Линейные размеры области течения:  $Y_1$  — входная полувысота канала;  $Y_m$  — высота “ножки” Маха;  $L$  — длина клина;  $Y_*$  — расстояние от оси симметрии до контактного разрыва в звуковом сечении  $EN$ ;  $L_*$  — длина области дозвукового течения, образованной осью симметрии и контактным разрывом;  $P$  — расстояние между точкой  $O$  и задней кромкой клина  $BG$  ( $P > 0$ , если точка  $O$  расположена вниз по потоку от задней кромки клина;  $P < 0$  — в противном случае);  $\theta$  — угол клина;  $\beta$  — угол присоединенной ударной волны;  $\varepsilon$  — угол наклона контактного разрыва в точке  $T$ ;  $\theta_T$  — угол наклона ударной волны  $TF$  в точке  $T$ ;  $\theta_F$  — угол наклона характеристики  $GF$ .

В соответствии с обозначениями на рис. 1 расчетная модель основана на следующих предположениях.

1. Угол клина больше критического ( $\beta > \beta_N$ ), и реализуется конфигурация с тройной точкой  $T$ . Критический угол  $\beta_N$  определяется из уравнения [13]

$$\operatorname{ctg}^4 \beta_N - \frac{\gamma \mu^2 (\xi + \mu^2) + (1 - \xi)^2}{(\xi + \mu^2)(1 + \xi \mu^2)} \operatorname{ctg}^2 \beta_N - \frac{\gamma (\xi + \mu^2)}{(1 + \xi \mu^2)^2} = 0,$$

где  $\mu^2 = (\gamma - 1)/(\gamma + 1)$ ,  $\xi = P_1/P_2$ ,  $\gamma$  — показатель политропы газа,  $P_1$  и  $P_2$  — давление перед и за косой ударной волной  $AT$  соответственно.

2. Клин достаточно короток, и его длина  $L$  такова, что ударная волна  $TF$  не попадает на сторону клина  $AG$ .

3. Некоторая промежуточная характеристика волны разрежения  $FE$  пересекается с контактным разрывом  $TE$  в точке  $E$  звуковой линии  $EN$ . Как показали эксперименты [14] и численные расчеты [15], давление за клином (за линией  $BG$  на рис. 1) не влияет на высоту “ножки” Маха. Поэтому выбор характеристики  $GF''E''$  не влияет на решение, если точка  $E''$  расположена правее звуковой точки  $E$  (см. рис. 1).

Пусть заданы параметры клина (длина  $L$ , угол  $\theta$  и полувысота канала  $Y_1$ ) и параметры набегающего потока (давление  $P_1$ , скорость  $V_1$  и число Маха  $M_1$ ). Решение в области 2 находится аналитически по известным соотношениям [13]. Угол наклона присоединенной ударной волны  $\beta$  определяется из уравнения

$$\operatorname{ctg} \theta = \left[ \frac{(\gamma+1)M_1^2}{2(M_1^2 \sin^2 \beta - 1)} - 1 \right] \operatorname{tg} \beta. \quad (1)$$

Число Маха  $M_2$  и давление  $P_2$  имеют вид

$$M_2 = \sqrt{\frac{2 + (\gamma-1)M_1^2}{2\gamma M_1^2 \sin^2 \beta - (\gamma-1)} + \frac{2M_1^2 \cos^2 \beta}{(\gamma-1)M_1^2 \sin^2 \beta + 2}},$$

$$P_2 = \left[ \frac{2\gamma}{\gamma+1} (M_1^2 \sin^2 \beta - 1) + 1 \right] P_1. \quad (2)$$

Ударная волна  $TO'$  — “ножка” Маха — криволинейная, так как в точке  $O'$  она перпендикулярна оси симметрии, а в точке  $T$  угол ударной волны  $TO'$  меньше прямого. Для нахождения решения в области 4 в рамках модели одномерного течения с переменным сечением канала необходимо осреднить по высоте канала параметры течения за ударной волной  $TO'$ . При этом потребуем выполнения интегральных законов сохранения (по длине  $l$  кривой  $TO'$ ):

1) закон сохранения массы

$$\rho_1 V_1 = \frac{1}{L} \oint_L \rho V dl,$$

2) закон сохранения импульса

$$\rho_1 V_1^2 + P_1 = \frac{1}{L} \oint_L (\rho V^2 + P) dl,$$

3) закон сохранения энергии

$$c_p T_1 + V_1^2 / 2 = c_p T + V^2 / 2,$$

который выполняется локально, так как течение изоэнтропично по обе стороны ударной волны. После этого определим среднее давление  $P_{40}$  и среднее число Маха  $M_{40}$  за ударной волной  $TO'$ :

$$P_{40} = \frac{1}{L} \oint_L P dl, \quad M_{40} = \frac{1}{L} \oint_L M dl,$$

где  $P$  — локальное давление,  $M$  — локальное число Маха за ударной волной  $TO'$ .

Для нахождения угла  $\varepsilon$  примем условие равенства давлений по обе стороны контактного разрыва:  $P_{30} = P_{40}$ , где  $P_{30} = \left[ \frac{2\gamma}{\gamma+1} (M_2^2 \sin^2 \beta_{23} - 1) + 1 \right] P_2$  — давление за ударной волной  $TF$  в точке  $T$ . Отсюда найдем угол  $\beta_{23}$  между ударной волной  $TF$  и вектором скорости  $V_2$  в точке  $T$ :

$$\beta_{23} = \arcsin \left\{ \frac{1}{M_2} \sqrt{\frac{\gamma+1}{2\gamma} \left( \frac{P_{40}}{P_2} - 1 \right) + 1} \right\}. \quad (3)$$

Тогда

$$\varepsilon = \theta - \operatorname{arctg} \left\{ \left[ \frac{(\gamma+1)M_2^2}{2(M_2^2 \sin^2 \beta_{23} - 1)} - 1 \right] \operatorname{tg} \beta_{23} \right\}. \quad (4)$$

Угол  $\theta_T$  наклона  $TF$  к оси  $x$  (в точке  $T$ ) и угол  $\theta_F$  между характеристикой  $GF$  волны разрежения и осью  $x$  имеют вид

$$\theta_T = \beta_{23} - \theta, \quad \theta_F = \arcsin(1/M_2) + \theta - \varepsilon_F, \quad (5)$$

где

$$\varepsilon_F = \sqrt{\frac{\gamma+1}{\gamma-1}} \left[ \operatorname{arctg} \left( \sqrt{\frac{\gamma-1}{\gamma+1}} \sqrt{M_F^2 - 1} \right) - \operatorname{arctg} \left( \sqrt{\frac{\gamma-1}{\gamma+1}} \sqrt{M_2^2 - 1} \right) \right],$$

$$M_F = \frac{2}{\gamma-1} \left[ \left( 1 + \frac{\gamma-1}{2} M_2^2 \right) \left( \frac{P_2}{P_F} \right)^{(\gamma-1)/\gamma} - 1 \right],$$

где  $P_F$  – давление на характеристике  $GF$ .

Область 4 течения газа  $TO'EN$  (см. рис.1) рассмотрим в рамках модели одномерного течения газа в “канале” переменного сечения, которая дает следующую систему уравнений:

высота ножки Маха

$$\frac{Y_m}{L} = \frac{1}{M_{40}} \left[ \frac{2}{\gamma+1} \left( 1 + \frac{\gamma-1}{2} M_{40}^2 \right) \right]^{(1/2)(\gamma+1)/(\gamma-1)} \frac{Y_*}{L}, \quad (6)$$

длина “канала”

$$\frac{L_*}{L} = \left( \frac{Y_m}{L} - \frac{Y'_*}{L} \right) \operatorname{ctg} \varepsilon + X_{E'E}, \quad (7)$$

где  $X_{E'E}$  — проекция кривой  $E'E$  на ось  $x$ ,  $Y'_*$  — расстояние от оси симметрии до точки  $E'$ .

После нахождения высоты  $Y_m/L$  определим величину  $P/L$ , как и в [8], из уравнения

$$\frac{P}{L} = \frac{[(Y_t/L) - (Y_m/L)] + (\operatorname{tg} \theta - \operatorname{tg} \beta)}{\operatorname{tg} \beta}, \quad (8)$$

где  $Y_t/L = Y_1/L - \text{tg}\theta$ ,  $Y_t$  — расстояние от точки  $G$  до оси симметрии.

Из решения в области 4 найдем:

координаты контактного разрыва  $TE$ :

$$\tilde{y}(x)/L = \begin{cases} Y_m/L - (x/L)\text{tg}\varepsilon, & 0 \leq x \leq X_{E'}, \\ Y_{E'E}(x), & X_{E'} < x \leq L^*, \end{cases} \quad (9)$$

где  $x$  — расстояние от точки  $O$  вдоль оси симметрии,  $X_{E'}$  — координата точки  $E'$ ,  $Y_{E'E}(x)$  — проекция кривой  $E'E$  на ось  $x$ ;

давление на  $TE$ :

$$\tilde{p}(x) = p^* \left[ \frac{2}{\gamma+1} \left( 1 + \frac{\gamma-1}{2} \tilde{M}_4^2(x) \right) \right]^{-\gamma/(\gamma-1)}, \quad (10)$$

где  $p^* = P_{40} \left[ \frac{2}{\gamma+1} \left( 1 + \frac{\gamma-1}{2} M_{40}^2 \right) \right]^{\gamma/(\gamma-1)}$  — давление на звуковой линии  $EN$ ; число

Маха  $\tilde{M}_4(x)$  в области 4 находится из уравнения

$$\frac{\tilde{y}(x)}{L} = \frac{1}{\tilde{M}_4(x)} \left[ \frac{2}{\gamma+1} \left( 1 + \frac{\gamma-1}{2} \tilde{M}_4^2(x) \right) \right]^{(1/2)(\gamma+1)/(\gamma-1)} \frac{Y_*}{L}, \quad (11)$$

число Маха на  $TE$  со стороны области 3

$$\tilde{M}_3^2(x) = \frac{2}{\gamma-1} \left[ \left( \frac{\tilde{p}(x)}{p_n} \right)^{(\gamma-1)/\gamma} - 1 \right]. \quad (12)$$

Здесь

$$p_n = P_{30} \left( 1 + \frac{\gamma-1}{2} M_{30}^2 \right)^{\gamma/(\gamma-1)},$$

$$M_{30} = \sqrt{\frac{2 + (\gamma-1)M_2^2}{2\gamma M_2^2 \sin^2 \beta_{23} - (\gamma-1)}} + \frac{2M_2^2 \cos^2 \beta_{23}}{(\gamma-1)M_2^2 \sin^2 \beta_{23} + 2}$$

есть число Маха за ударной волной  $TF$  в точке  $T$ .

Течение газа за линией  $TF$  в области 3 является сверхзвуковым. В области 2 течение газа безвихревое, тогда, согласно [16,17], за ударной волной  $TF$  (при малой кривизне  $TF$ , что будет показано ниже) в области 3 течение остается безвихревым, т. е. потенциальным. Для такого течения, когда заданы условия на характеристике  $FE$  и контактной границе  $TE$ , известно приближенное аналитическое решение [18], основанное на аппроксимации Христиановича [19] для функции Чаплыгина.

В области 3 введем характеристические переменные  $\xi$  и  $\eta$ :

$$\xi = (\tau + \vartheta)/2, \quad \eta = (\tau - \vartheta)/2,$$

где  $\tau = 1 - \text{harctg}(z/h) + \text{arctg}z$ ,  $z = \sqrt{(\lambda^2 - 1)/(1 - \lambda^2/h^2)}$ ,  $h = \sqrt{(\gamma + 1)/(\gamma - 1)}$ ,  $\lambda = \sqrt{0,5(\gamma + 1)} M / \sqrt{1 + 0,5(\gamma - 1)M^2}$ ,  $\vartheta$  — угол наклона вектора скорости к оси  $x$ .

Рассмотрим характеристический треугольник  $TKE$  (рис. 2), образованный характеристиками  $TK$  ( $\xi = \xi_1 = \{\tau(\tilde{M}_3(0)) + \varepsilon\}/2 = \text{const}$ ) и  $KFE$  ( $\eta = \eta_1 = \{\tau(\tilde{M}_3(x_*)) - \varepsilon\}/2 = \text{const}$ ). На линии  $TE$  из уравнений (9) – (11) определяются функции  $\eta = \omega_1(\xi) = \{\tau(\tilde{M}_3(x)) - \varepsilon\}/2$  и  $\xi = \omega_2(\eta) = \{\tau(\tilde{M}_3(x)) + \varepsilon\}/2$ ; тогда уравнение контактного разрыва  $TE$  можно получить в виде

$$x = x_1(\xi) = x_2(\eta), \quad y = y_1(\xi) = y_2(\eta), \quad (13)$$

где  $y_1(\xi) = Y_m/L - x_1(\xi) \text{tg} \varepsilon$ ,  $y_2(\eta) = Y_m/L - x_2(\eta) \text{tg} \varepsilon$ .

Решение задачи Коши для области  $TKEF$ , ограниченной характеристиками  $TK$ ,  $KFE$  и линией тока  $TE$  (контактным разрывом), дается формулами [18]

$$x = \frac{\varphi(\xi) + \psi(\eta)}{\text{tg}2\xi + \text{tg}2\eta}, \quad y = \frac{-\text{tg}2\eta\varphi(\xi) + \text{tg}2\xi\psi(\eta)}{\text{tg}2\xi + \text{tg}2\eta}, \quad (14)$$

где

$$\varphi(\xi) = \frac{[y_1(\xi) - \text{tg}2\xi \cdot x_1(\xi)][\text{tg}2\xi + \text{tg}2\omega_1(\xi)]}{-\text{tg}2\omega_1(\xi) - \text{tg}2\xi},$$

$$\psi(\eta) = \frac{[y_2(\eta) + \text{tg}2\eta \cdot x_2(\eta)][\text{tg}2\omega_2(\eta) + \text{tg}2\eta]}{\text{tg}2\omega_2(\eta) + \text{tg}2\eta}.$$

Ударная волна  $TF$  (см. рис. 2) строится из условия совместности решений в областях 2 и 3. По известному полю скорости газа в области 3 и начальному углу наклона ударной волны в точке  $T$   $\theta_T$  определяется положение криволинейной ударной волны  $TF$ . Построение кривой ударной волны  $TF$  осуществляется методом характеристик. При этом проводятся итерации по высоте ножки Маха  $Y_m/L$  до тех пор, пока характеристика  $FE$  не попадет в звуковую точку  $E$ . За кривой ударной волной  $TF$  течение вихревое. Определим среднюю кривизну  $\bar{K}_{TF}$  ударной волны  $TF$  как  $\bar{K}_{TF} = L_{TF} / (2\pi\bar{R}_{TF})$ . Здесь  $L_{TF}$  — длина кривой  $TF$ ,  $\bar{R}_{TF}$  — средний (по длине кривой  $TF$ ) радиус окружностей, имеющих в каждой точке  $TF$  касание с кривой  $TF$  не ниже

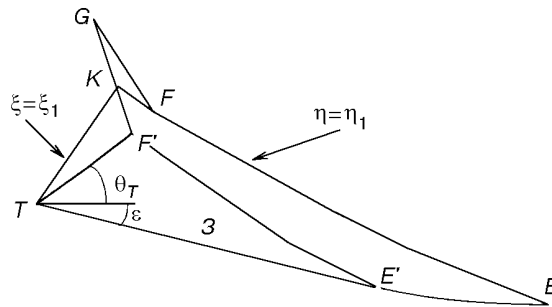


Рис. 2. Характеристический треугольник в области 3.

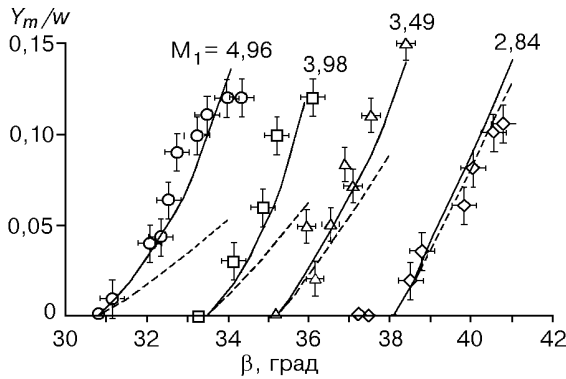


Рис. 3. Зависимость высоты ножки Маха от угла  $\beta$  ( $w = L/\cos\theta$ ).

второго порядка (для прямой  $\bar{K} = 0$ , для окружности  $\bar{K} = 1$ ).

При малой кривизне скачка и слабой ударной волне, согласно [20], завихренность течения за скачком является величиной третьего порядка малости по сравнению с возмущениями скорости газа.

Поэтому с достаточной степенью точности течение в области 3 можно считать потенциальным.

Система нелинейных уравнений (1) – (14) дает решение задачи об определении параметров течения с маховской конфигурацией ударных волн, показанной на рис. 1.

Результаты прямого численного моделирования течения [3] в рассматриваемой геометрии (см. рис.1) показали, что длина  $L_*/L$  больше рассчитанной по модели [8] и близка к рассчитанной по предложенной здесь модели.

Сравнение с экспериментальными данными [1] (точки на рис. 3) расчетов по модели [8] (пунктирная линия) и расчетов по данной модели (сплошная линия) показало, что предложенная модель хорошо описывает эксперименты. Эксперименты и расчеты проводились при  $\gamma = 1,4$  и  $Y_1/L = 0,37$ .

Проведено сравнение с большой серией экспериментальных данных [11]. На рис. 4 показана зависимость безразмерной высоты “ножки” Маха  $Y_m/w$  от угла  $\beta$  для различных значений  $Y_1/w$ . Эксперименты [11] и расчеты проводились для воздуха с  $\gamma = 1,4$ .

Таким образом, предложенная модель дает описание полной структуры нерегулярного (маховского) отражения ударных волн в плоском сужающемся канале. В модели учтены такие особенности течения, как кривизна “ножки” Маха (ударная волна  $TO'$  на рис. 1) и отраженной ударной волны (ударная волна  $TF$  на рис. 1); изменение давления вдоль контактного разрыва (линия  $TE'$  на

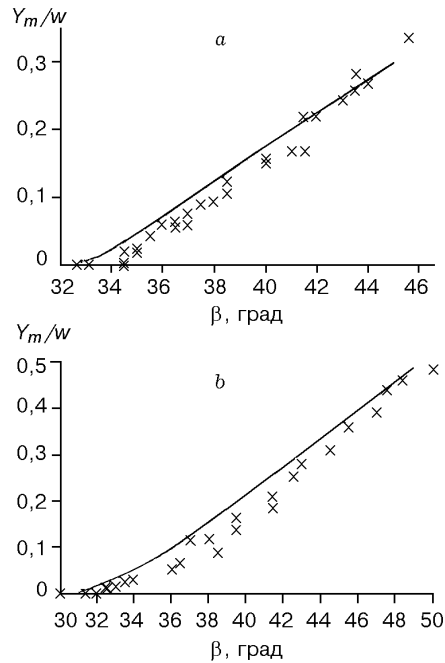


Рис. 4. Сравнение данных, полученных по предлагаемой модели, с экспериментом [11].

$a$ :  $M_1 = 4,03$ ,  $Y_1/w = 0,56$ ;  $b$ :  $M_1 = 5,03$ ,  $Y_1/w = 0,55$ .  
Линия — расчет, точки — эксперимент.

рис. 1) и его влияние на течение газа над контактным разрывом (область 3 на рис. 1); наконец влияние условий вниз по потоку на характеристики нерегулярного отражения. Сравнение с экспериментальными данными показывает, что предложенная модель адекватно описывает характеристики течения.

#### СПИСОК ЛИТЕРАТУРЫ

1. **Hornung H.G., Robinson M.L.** Transition from regular to Mach reflection of shock waves. Part 2. The steady-flow criterion // *J. Fluid Mech.* — 1982. — Vol. 123. — P. 155 – 164.
2. **Chpoun A., Passerel D., Li H., Ben-Dor G.** Reconsideration of oblique shock wave reflections in steady flows. Pt 1. Experimental investigation // *Ibid.* — 1995. — Vol. 301. — P. 19 – 35.
3. **Ivanov M.S., Gimelshein S.F., Beylich A.E.** Hysteresis effect in stationary reflection of shock waves // *Phys. Fluids.* — 1995. — Vol. 7, No. 4. — P. 685 – 687.
4. **Ivanov M., Zeitoun D., Vuillon J., Gimelshein S., Markelov G.** Investigation of the hysteresis phenomena in steady shock reflection using kinetic and continuum methods // *Shock Waves.* — 1996. — Vol. 5. — P. 341 – 346.
5. **Chpoun A., Ben-Dor G.** Numerical confirmation of the hysteresis phenomenon in the regular to the Mach reflection transition in steady flows // *Ibid.* — 1995. — Vol. 5. — P. 199 – 203.
6. **Hornung H.G.** On the stability of steady-flow regular and Mach reflection // *Ibid.* — 1997. — Vol. 7, No. 2. — P. 123 – 125.
7. **Azevedo D.J., Liu C.S.** Engineering approach to the prediction of shock patterns in bounded high-speed flows // *AIAA J.* — 1993. — Vol. 31, No. 1. — P. 83 – 90.
8. **Azevedo D.J., Liu C.S., Rae W.J.** Prediction of inviscid stagnation pressure losses in supersonic inlet flows // *AIAA J.* 1990. — Vol. 28, No. 10. — P. 1834 – 1836.
9. **Li H., Schotz M., Ben-Dor G.** Wave configuration of Mach reflection in steady flows: analytical solution and dependence on downstream influences // *Proc. 20th Intern. Symp. on Shock Waves.* — Vol. 1. — Pasadena, California, USA, July 1995. — Vol. I. — P. 393 – 398.
10. **Medvedev A.E., Fomin V.M.** Numerical-analytical solution for Mach configuration of steady shock waves in a 2D slender // *Intern. Conf. on the Methods of Aerophysical Research: Proc. Pt 3.* — Novosibirsk, 1996. — P. 216 – 220.
11. **Иванов М.С., Клеменков Г.П., Кудрявцев А.Н. и др.** Экспериментальное исследование перехода к маховскому отражению стационарных ударных волн // *Докл. РАН.* — 1997. — Т.357, № 5. — С. 623 – 627.
12. **Овсянников Л.В.** Лекции по основам газовой динамики. М.: Наука, 1981.
13. **Курант Р., Фридрихс К.** Сверхзвуковые течения и ударные волны. — М.: Иностран. лит., 1950.
14. **Leclerc E., Lengrand J.C., Chpoun A.** Experimental investigation of the influence of downstream flow conditions on Mach stem height // *Proc. 21st Intern. Symp. on Shock Waves.* — Great Keppel Island, Australia, 1997. — P. 1860.
15. **Ben-Dor G., Elperin T., Li H., Vasiliev E., Chpoun A., Zeitoun D.** Dependence of steady Mach reflections on the reflecting-wedge trailing-edge angle // *AIAA J.* — 1997. — Vol. 35, No. 11. — P. 1780 – 1782.
16. **Лойцянский Л.Г.** Механика жидкости и газа. — М.: Наука, 1978.
17. **Кочин Н.Е., Кибель А.И., Розе Н.В.** Теоретическая гидромеханика. Ч. 2. — М.: Физматгиз, 1963.
18. **Гриб А.А., Рябинин А.Г.** К вопросу о приближенном интегрировании уравнений плоского установившегося сверхзвукового движения газа // *Докл. АН СССР.* — 1955. — Т. 100, № 3. — С. 425 – 428.
19. **Христианович С.А.** Механика сплошной среды. — М.: Наука, 1981.
20. **Бай Ши-и.** Введение в теорию течения сжимаемой жидкости. — М.: Иностран. лит., 1962.

*Статья поступила в редакцию 2 октября 1996 г.,  
в доработанном виде — 29 мая 1998 г.*